

ถ้าพิจารณาถึงแรงเฉือนที่เกิดขึ้นระหว่างเม็ดดินและคำนึงถึงแผ่นฟิล์มบาง ๆ ของน้ำซึ่งห่อหุ้มเม็ดดินโดยรอบ ณ ตรงจุดสัมผัส ค่าความต้านทานต่อการลื่นไอลก์จะเปลี่ยนไป เนื่องจากว่า ก) พื้นที่ผิวสัมผัสระหว่างวัตถุเปลี่ยนไป เนื่องจากมีชั้นน้ำมากันไว้ทำให้พื้นที่ของวัตถุไม่สัมผัสนั้นจริง ข) ถ้าหากเพิ่มขนาดของแรงที่กดทับ ( $P$ ) ก็จะทำให้ชั้นความหนาของน้ำถูกัดให้บางลง และในการณีของดินนั้นจะต้องพิจารณาถึงปัจจัยอื่น ๆ เช่น

1. การจัดเรียงตัวใหม่ของเม็ดดิน (จะเกิดขึ้นขณะเกิดแรงเฉือน)
2. ความหนาของแผ่นฟิล์มน้ำที่ห่อหุ้มเม็ดดินโดยรอบมีความหนาเปลี่ยนไป
3. ค่าแรงยึดเหนี่ยว (Cohesion) และแรงเสียดทาน (Friction) ซึ่งเป็นส่วนที่ต้านต่อแรงเฉือนจะเปลี่ยนไป ณ ความเครียด (Strain) ต่าง ๆ ดังนั้นแรงต้านทานของดินในส่วนที่เป็นแรงเสียดทานจึงเป็นพังก์ชันกับความเครียดที่เกิดขึ้นกับมวลดิน ตามรูปที่ 9.1 พบว่าในขณะที่เกิดการเคลื่อนที่ของวัตถุ A ดังนั้น

$$R = N \tan \phi = P \tan \phi \quad \dots \dots \dots \quad 9.2$$

ถ้าวัตถุ A กับระนาบ xy เป็นวัสดุเนื้อดียกัน ค่า  $R$  ก็คือ แรงต้านทานการเฉือน (Shearing Resistance) ของผิวสัมผัส

## 9.2 ทฤษฎีกำลังของดินของمور์และคูลอมบ์ ( Shear Strength Theory of Mohr-Coulomb)

จากสมการที่ (9.2) สามารถเขียนได้ในรูปของ

$$\begin{aligned} \tau &= F_a/A = (P/A) \tan \phi \\ \tau &= \sigma \tan \phi \end{aligned} \quad \dots \dots \dots \quad 9.3$$

เมื่อ  $\tau$  = หน่วยแรงเฉือน

$\sigma$  = หน่วยแรงโดยตรงที่กระทำบนระนาบแรงเฉือน ซึ่งในที่นี้คือระนาบ x-y

Coulomb ได้นำเอาหลักการนี้มาประยุกต์ใช้ในการณีดินไม่มีแรงยึดเหนี่ยว (Cohesionless Soils) เขียนใหม่ได้เป็น

$$\tau_f = \sigma_f \tan \phi \quad \dots \dots \dots \quad 9.4$$

เมื่อ  $\tau_f$  = หน่วยแรงเฉือนบนระนาบวิบัติของมวลดิน

$\sigma_f$  = หน่วยแรงโดยตรงบนระนาบวิบัติของมวลดิน (Normal Stress)

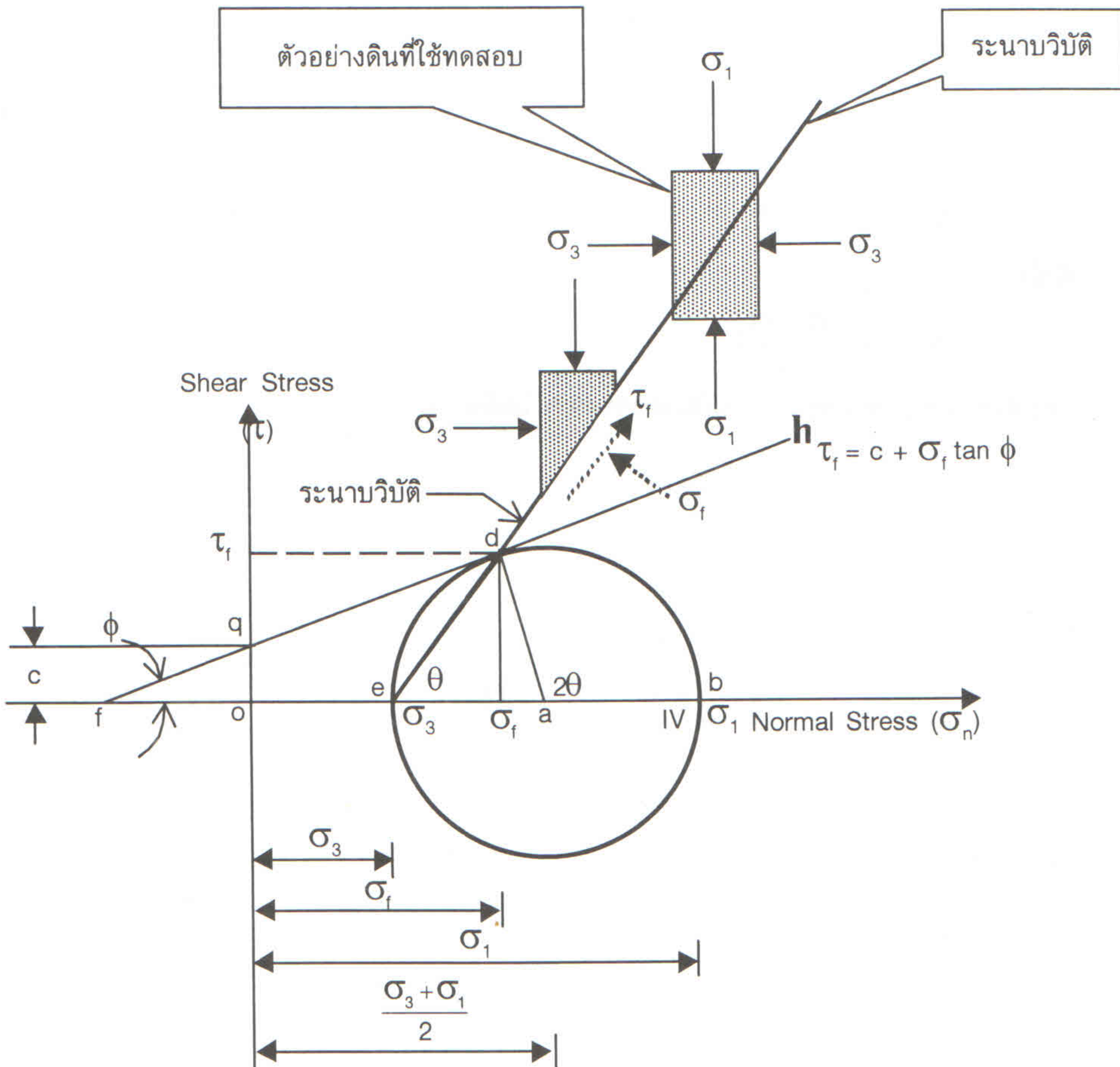
$\phi$  = มุมเสียดทานภายในของมวลดิน (Angle of Internal Friction of Soils)

ในการณีดินประเภทที่มีแรงยึดเหนี่ยว (Cohesion Soils) ซึ่งเป็นคุณลักษณะของมวลดินเม็ดละเอียด เม็ดดินเหล่านี้จะมีค่าแรงยึดเหนี่ยวระหว่างเม็ดดิน (Cohesion,  $c$ ) มีผลทำให้ค่าของแรงเฉือนเพิ่มขึ้น ดังนั้นสมการของแรงต้านแรงเฉือนเขียนได้เป็น

$$\tau_f = c + \sigma_f \tan \phi \quad \dots \dots \dots \quad 9.5$$

โดยที่ค่า  $c$  = แรงยึดเหนี่ยวระหว่างเม็ดดิน (Cohesion)

จากทฤษฎีการวิบัติของมอร์สามารถนำมาอธิบายในรูปของกราฟ โดยใช้ค่าหน่วยแรงในแนวดิ่ง ( $\sigma_1$ ) ณ จุดสูงสุด ที่ได้จากการทดสอบกับค่าหน่วยแรงในแนวราบที่เป็นแรงดันโดยรอบข้างของตัวอย่างซึ่งควบคุมให้คงที่ตลอดการทดสอบ ( $\sigma_3$ ) มาสร้างเป็นวงกลม เรียกว่า วงกลมของมอร์ (Möhr's Circle) จากรูปที่ 9.2 ที่จุดศูนย์กลางที่มุม  $a \wedge d = 2\theta$  นั้น เลี้น  $da$  จะไปตัดกับของวงกลมที่จุด  $d$  พิกัดที่จุดนี้จะมีค่าเท่ากับ  $\sigma_f$ .  $\tau_f$  ซึ่งในการประมาณค่านี้ได้จากการอ่านตาราง สเกลของกราฟ หรืออาจใช้วิธีการคำนวณ



รูปที่ 9.2 วงกลมของมอร์และการวิบัติของดินรับแรงเฉือน

จากรูปที่ 9.2

$$\tau_f = \frac{\sigma_1 - \sigma_3}{2} \sin 2\theta$$

$$\sigma_f = \frac{\sigma_1 + \sigma_3}{2} + \frac{\sigma_1 - \sigma_3}{2} \cos 2\theta$$

ในการหาค่ามุมวิบัติ ( $\theta$ ) ที่เกิดขึ้นตามเงื่อนไขการวิบัติของมอร์และคูลอมบ์ จะเขียนอยู่ในรูปของมุมเลี้ยดทาน (Internal Friction Angle,  $\phi$ ) ดังนั้นจากรูปที่ 9.2 เปลี่ยนได้เป็น

$$b \hat{a} d = 2\theta = 90 + \phi$$

หรือ  $\theta = 45 + \frac{\phi}{2}$  ..... 9.6

จากรูปที่ 9.2

$$\frac{\overline{ad}}{\overline{fa}} = \sin \phi$$
 ..... 9.7

$$\frac{\overline{fa}}{\overline{fa}} = fo + oa = c \cos \phi + \frac{\sigma_1 + \sigma_3}{2}$$
 ..... 9.8

ดังนั้น

$$\frac{\overline{ad}}{\overline{ad}} = \frac{\sigma_1 - \sigma_3}{2}$$
 ..... 9.9

แทนค่าสมการ (9.8) และ (9.9) ลงในสมการ (9.7) ได้เป็น

$$\sin \phi = \frac{\frac{\sigma_1 - \sigma_3}{2}}{c \cos \phi + \frac{\sigma_1 + \sigma_3}{2}}$$

หรือ

$$\sigma_1 = \sigma_3 \left( \frac{1 + \sin \phi}{1 - \sin \phi} \right) + 2c \left( \frac{\cos \phi}{1 - \sin \phi} \right)$$
 ..... 9.10

อย่างไรก็ตาม

$$\left( \frac{1 + \sin \phi}{1 - \sin \phi} \right) = \tan^2 [45 + \frac{\phi}{2}]$$

และ

$$\left( \frac{\cos \phi}{1 - \sin \phi} \right) = \tan [45 + \frac{\phi}{2}]$$

ดังนั้น

$$\sigma_1 = \sigma_3 \tan^2 [45 + \frac{\phi}{2}] + 2c \tan [45 + \frac{\phi}{2}]$$
 ..... 9.11